

## تأثیر عوامل سطحی آنیونی و کاتیونی بر رسوبدی کتروشیمیایی پوشش نانومادهی مرکب نیکل-نیترید تینانیم\*

تینانیم\*

نفیسه پرهیزکار<sup>(۱)</sup>ابوالقاسم دولتی<sup>(۲)</sup>رویا آقابابازاده<sup>(۳)</sup>

### چکیده

رسوب‌دهی کتروشیمیایی مواد مرکب، روشنی کم هزینه و دما پایین است که برای ساخت پوشش‌های ماده‌ی مرکب زمینه فلزی استفاده می‌شود. در این تحقیق، از عوامل سطحی آنیونی سدیم دودسیل سولفات و کاتیونی ستیل تری متیل آمونیم در غلط‌های مختلف، به عنوان افزون بر این، از حمام واتس به عنوان حمام آبکاری استفاده شد و غلط‌ذرات، چگالی جریان و سرعت تلاطم الکتروولیت به ترتیب برابر با  $450 \text{ rpm}$ ,  $4 \text{ A/dm}^2$  و  $30 \text{ g/lit}$  بود. نتایج نشان دادند که عامل سطحی آنیونی نسبت به کاتیونی، سبب حضور بیشتر ذرات در پوشش ماده‌ی مرکب می‌شود. افزایش غلط‌سولفات سدیم دودسیل سولفات تا مقدار بهینه، منجر به پراکندگی یکنواخت تر و بیشتر نانوذرات در پوشش‌ها شد. سختی پوشش نیکل خالص و نانوماده‌ی مرکب بهینه حاوی سدیم دودسیل سولفات، با استفاده از دستگاه AFM اندازه‌گیری شد و نتایج نشان دادند که سختی پوشش در حضور ذرات، از ۱/۸۶ به ۳/۲۳ گیگاپاسکال افزایش می‌یابد و افزون بر این، مقاومت به سایش هم افزایش می‌یابد.

**واژه‌های کلیدی** نانوماده‌ی مرکب، عوامل سطحی آنیونی و کاتیونی، سدیم دودسیل سولفات، ستیل تری متیل آمونیم نیترید.

## The Effect of Anionic and Cationic Surfactants on Electrodeposition of Ni/TiN Nanocomposite Coating

N. Parhizkar A. Dolati R. Aghababazade

### Abstract

Electrodeposition of composites is a low-cost and low-temperature method, which is used to make metal matrix composite coatings. In this study, various amounts of surfactants of anionic sodium dodecylsulfate and cationic cetyltrimethylammonium bromide were used as additives in composite coating of Ni/TiN. Watts bath was used as the plating bath with the concentration of particles, current density and agitation speed which were considered to be  $30\text{g/lit}$ ,  $4\text{A/dm}^2$  and  $450\text{rpm}$ , respectively. The results showed that the anionic surfactant causes more particles to be present in the composite coatings compared with cationic caused. An increase in the SDS concentration to the optimal value led to more uniform dispersion of nanoparticles in the coating. The hardness of pure nickel and optimal composite coating SDS were measured by AFM and the results showed that the hardness of coating, in the presence of particles, increases from  $1.86$  to  $3.23 \text{ GPa}$ , and its wear resistance showed an increased value.

**Key Words** Nanocomposite, Anionic and cationic surfactants, Sodium Dodecylsulfate, Cetyltri Methyl Ammonium Bromide.

\*نسخه‌ی نخست مقاله در تاریخ ۹۲/۱/۱۵ و نسخه‌ی پایانی آن در تاریخ ۹۳/۲/۱۵ به دفتر نشریه رسیده است.

(۱) نویسنده‌ی مسئول، فارغ‌التحصیل کارشناسی ارشد، دانشکده مهندسی و علم مواد، دانشگاه صنعتی شریف

(۲) عضو هیأت علمی، دانشکده مهندسی و علم مواد، دانشگاه صنعتی شریف

(۳) عضو هیأت علمی، پژوهشگاه علوم و فناوری رنگ تهران

دو دسیل سولفات (SDS)، سبب بهبود پراکندگی ذرات SiC در محلوط معلق و افزایش مقدار نانوذرات SiC در زمینه‌ی نیکل و یکنواختی آن می‌شود [10]. در این پژوهش، از دو افزودنی آنیونی و کاتیونی، SDS و CTAB، استفاده شده است و تأثیر این دو افزودنی بر میزان افزایش درصد ذرات در پوشش و نیز، تأثیر آن بر سرعت رسوب‌دهی بررسی شده است. تصویرهای میکروسکوپ الکترونی رویشی نیز از این پوشش‌ها تهیه شد و مقادیر بهینه‌ی ذرات و مؤثر بودن آن‌ها بررسی شد.

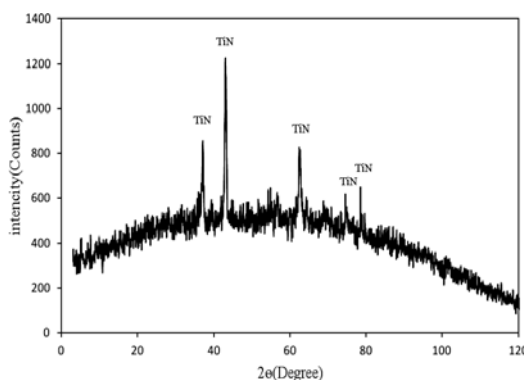
### روش تحقیق

در این تحقیق، از حمام واتس برای آب‌کاری پوشش‌های ماده‌ی مرکب نیکل-نیترید تیتانیوم استفاده شد. ترکیب شیمیایی حمام مورد استفاده و شرایط آب‌کاری نمونه‌ها، در جدول (۱) آورده شده‌اند. تمامی ترکیب‌های مورد استفاده، ساخت شرکت مرک و با خلوص بالا و آزمایشگاهی بوده‌اند. زیرلایه از ورق مس با ضخامت ۱ میلی‌متر و طول و عرض بهترتب ۵ و ۱ سانتی‌متر انتخاب شد. سطح پوشش‌دهی به اندازه‌ی ۱ سانتی‌متر مربع انتخاب شد و برای محدود کردن ابعاد نمونه، از چسب عایق برق استفاده شد. از ورق پلاتین به ابعاد ۱/۵ و ۲ سانتی‌متر، به عنوان آند برای پوشش‌دهی استفاده شد. به منظور آماده‌سازی و بر طرف کردن اکسیدهای سطحی در زیرلایه‌ها، از سنباده‌های با درجه‌های بهترتب ۲۴۰، ۶۰۰، ۱۰۰۰ و ۳۰۰۰ استفاده شد. عملیات چربی‌گیری، به مدت ۱۵ دقیقه در بشر حاوی آستن تحت امواج مافوق صوت صورت گرفت. پس از محدود کردن ابعاد زیرلایه توسط چسب برق، نمونه‌ها قبل از انجام پوشش‌دهی به مدت ۱۰ ثانیه در محلول اسیدشویی (۵۰%V H<sub>2</sub>SO<sub>4</sub> + 20%V HNO<sub>3</sub> + 15%V HCl + 10%V H<sub>2</sub>O) قرار گرفتند و سپس، با آب دوبار تقطیر شده، شسته شدند. تلاطم مورد نیاز حین رسوب‌دهی، به وسیله‌ی دستگاه هم‌زن مغناطیسی آیکا و مغناطیسی ۱ سانتی‌متری اعمال

### مقدمه

فناوری رسوب‌دهی الکتروشیمیایی، روشی برای دست یابی به پوشش‌های مواد مرکب است. رسوب‌دهی هم‌زمان ذرات و زمینه‌ی فلزی، از طریق افزودن ذرات جامد با ابعاد نانومتری یا میکرومتری (از قبیل TiN، AlN، SiC، Al<sub>2</sub>O<sub>3</sub> و مانند آن‌ها) به الکتروولیت انجام می‌گیرد [1]. نیکل به عنوان یک ماده‌ی مهندسی، عمدتاً به عنوان زمینه‌ی فلزی استفاده می‌شود [2]. کاربردهای پوشش‌های رسوب‌دهی الکتروشیمیایی، شامل سطوح مقاوم به سایش و خراش، روان‌کاری، ابزار با سختی بالا، آلیاژهای با استحکام بخشی پراکندگی و به منظور حفاظت در برابر اکسایش و خوردگی داغ می‌باشند [3]. ذرات سرامیکی ریز در حمام آب‌کاری، تمایل به خوش‌های شدن دارند، زیرا انرژی سطحی آن‌ها زیاد است. افزون بر این، قدرت یونی بالای الکتروولیت و غلطت بالای ذرات خشی در حمام هم باعث تشدید تمایل ذرات به خوش‌های شدن می‌شود. ورود ذرات خوش‌های شده به پوشش، منجر به افت خواص مکانیکی می‌شود [4,5]. بنابراین، با استفاده از عوامل سطحی مناسب سعی می‌کنند تا خوش‌های شدن کاهش یابد [6-8]. عوامل سطحی به چهار دسته‌ی ۱- آنیونی، ۲- کاتیونی، ۳- دویونی و ۴- غیریونی، تقسیم می‌شوند. توزیع کننده‌های کاتیونی و آنیونی، با جذب بر روی سطح ذرات و باردار کردن آن‌ها، پایداری الکتریکی ایجاد می‌کنند، در حالی که توزیع کننده‌های غیریونی، بار الکتریکی ذرات را تغییر نمی‌دهند و صرفاً با جذب بر روی سطح ذرات، پایداری فیزیکی ایجاد می‌کنند. مسئله‌ای که در استفاده از توزیع کننده‌ها اهمیت دارد این است که توزیع کننده‌ها باید به سرعت جذب سطح ذرات شوند تا از خوش‌های شدن آن‌ها جلوگیری کنند. مطالعات نشان داده‌اند که سرعت جذب توزیع کننده‌های کاتیونی، بسیار بیش از توزیع کننده‌های آنیونی و غیریونی است، به طوری که در زمان کوتاهی، مقدار بیشتری از آن‌ها جذب فصل مشترک ذرات می‌شود [9]. افزودن عامل سطحی سدیم

رنگ تهران تهیه شد [11]. الگوی پراش اشعه ایکس مربوط به TiN، در شکل (۱) آورده شده است. نتیجه‌ی به دست آمده، با کد مرجع شماره‌ی ۰۰-۰۳۸-۱۴۲۰ تطبیق داده شد.



شکل ۱ الگوی پراش اشعه‌ی ایکس از پودر TiN

به منظور اندازه‌گیری سرعت رسوب دهی، وزن نمونه‌ها بعد از آماده‌سازی و قبل از پوشش دهی به دقت به وسیله‌ی ترازوی دیجیتالی با ۴ رقم اعشار اندازه‌گیری شد، بعد از پوشش دهی و پاک‌سازی سطح، وزن جدید نمونه‌ها مجدداً اندازه‌گیری شد و با توجه به زمان رسوب دهی و سطح پوشش دهی شده، سرعت رسوب دهی به دست آمد. بررسی گفولوژی سطح نمونه‌ها، توسط میکروسکوپ الکترونی روبشی (SEM) ساخت شرکت IROST صورت گرفت. به منظور مطالعه‌ی ترکیب شیمیایی پوشش‌ها، از روش طیف‌نگاری طیف نگاری انرژی اشعه ایکس ساطع شده EDS استفاده شد. دستگاه EDS مورد استفاده، تولید شرکت IROST بود که به دستگاه میکروسکوپ الکترونی روبشی متصل شده بود. در این روش، درصد وزنی عنصرهای Ni و Ti تعیین شدند و نتایج به دست آمده با استفاده از رابطه‌ی زیر، به درصد حجمی Ni و TiN تبدیل شدند.

$$V_s(X) = M(X)/\rho(X) \quad (1)$$

$$\%V = ((\text{atom\%}(Ti) \times V_s(TiN)) / (\text{atom\%}(TiN) \times$$

شد. قبل از انجام آبکاری و به منظور شکستن خوش‌های احتمالی، محلول به مدت ۳۰ دقیقه در دستگاه فرآصنوت ضربانی قرار گرفت. مشخصات عوامل سطحی سدیم دودسیل سولفات SDS و ستیل تری متیل آمونیم بُرمید CTAB مورد استفاده، در جدول (۲) آمده‌اند.

## جدول ۱ ترکیب شیمیایی حمام مورد استفاده و شرایط آب کاری

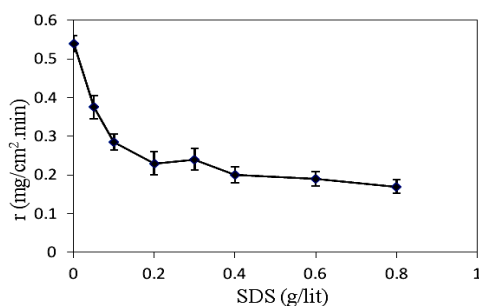
مقدار	اجزاء و شرایط
240 (g/lit)	سولفات نیکل ( $\text{NiSO}_4 \cdot 6\text{H}_2\text{O}$ )
40 (g/lit)	کلرید نیکل ( $\text{NiCl}_4 \cdot 6\text{H}_2\text{O}$ )
30 (g/lit)	اسید بوریک ( $\text{H}_3\text{BO}_3$ )
$50 \pm 5^\circ\text{C}$	دما
$4 \pm 0/2$	Ph
4 ( $\text{A}/\text{dm}^2$ )	چگالی جریان اعمالی
450 (rpm)	سرعت تلاطم الکترولیت
30 (g/lit)	غلهظت ذرات TiN
0 , 0/05 , 0/1 , 0/2 , 0/3 , 0/4 , 0/6 , 0/8 (g/lit) 0 , 0/05 , 0/1 , 0/2 , 0/3 , 0/4(g/lit)	غلهظت عامل سطحی SDS غلهظت عامل سطحی CTAB

## جدول ۲ مشخصات عوامل سطحی مورد استفاده

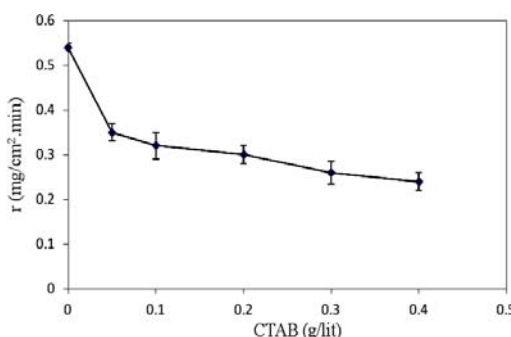
عامل سطحی	ترکیب شیمیایی	جرم مولی (g/mol)
سدیم دودسیل سولفات	NaC <sub>12</sub> H <sub>25</sub> SO <sub>4</sub>	288/38
ستیل تری متیل آمونیم برمید	C <sub>19</sub> H <sub>42</sub> BrN	364/45

پور استفاده شده در این تحقیق، با میانگین اندازه‌ی دانه‌ی ۴۰ نانومتر و مساحت سطح ویژه‌ی ۱۹ تا ۳۱ متر مربع بر گرم، در پژوهشگاه علوم و فناوری

تصویرهای این شکل دیده می‌شود، با افزایش غلظت عامل سطحی آنیونی SDS، سرعت رسوب‌دهی پوشش کاهش می‌یابد. قوع این پدیده به دلیل جذب SDS در سطح کاتد و تشکیل لایه‌ی مانع بوده است. تحقیقات نشان داده‌اند که افروزن SDS به الکتروولیت، از رسوب یون  $\text{Ni}^{2+}$  در مراحل اولیه‌ی رسوب‌دهی الکتروشیمیایی جلوگیری می‌کند. دلیل آن این است که SDS جذب سطح کاتد می‌شود و بنابراین،  $\text{Ni}^{2+}$  باید بر سد انرژی غلبه کند تا بتواند از میان فضاهای خالی لایه‌ی جذب شده عبور کند و به‌این ترتیب، در سطح کاتد رسوب کند. بنابراین، مرحله‌ی عبور یون نیکل از میان لایه‌ی جذب شده، مرحله‌ی کنترل کننده‌ی فرایند رسوب‌دهی است و SDS تأثیر ممانتع کننده‌گی قویی ایجاد می‌کند [13]. همان‌طور که در شکل (۳) مشاهده می‌شود، افروزن CTAB نیز رفتاری مشابه با SDS نشان می‌دهد.



شکل ۲ سرعت رسوب‌دهی نانوماده‌ی مرکب نیکل-نیترید تیتانیم بر حسب غلظت عامل سطحی آنیونی SDS در حمام حاوی ۳۰ ۴۵۰ rpm با چگالی جریان  $4 \text{ A/dm}^2$  و سرعت تلاطم  $4 \text{ g/lit}$  TiN



شکل ۳ سرعت رسوب‌دهی نانوماده‌ی مرکب نیکل-نیترید تیتانیم بر حسب غلظت عامل سطحی کاتیونی CTAB در حمام حاوی

$$V_s(\text{Ni}) + \text{atom\%}(\text{Ti}) \times V_s(\text{TiN})) \times 100 \quad (2)$$

که در آن،  $(X)$  و  $(M(X))$  به ترتیب نشان‌دهنده‌ی جرم اتمی و چگالی اتمی گونه‌ی  $X$ ،  $V_s(x)$  حجم مخصوص گونه‌ی  $X$  و  $V$  در صد حجمی ذرات TiN در پوشش Ni-TiN می‌باشد [12].

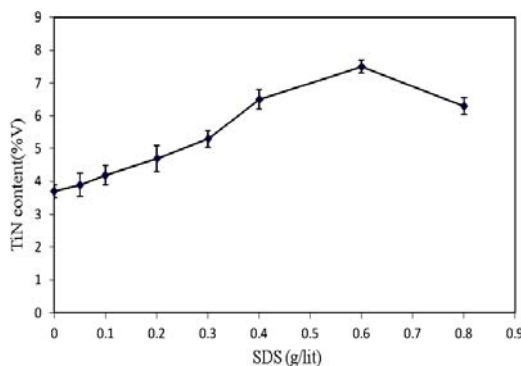
سختی پوشش ماده‌ی مرکب بهینه‌ی تولید شده، با استفاده از فرورونده‌ی نانومتری الماسی دستگاه AFM اندازه‌گیری شد و با سختی پوشش نیکل مقایسه شد. این دستگاه دارای یک فرورونده‌ی نانومتری با نوک هرمی بود که سه ضلع هرم فرورونده را سه مثلث راست‌الزاویه تشکیل می‌دادند. در این روش، نیروی عمودی ۵۰۰۰ میکرونیوتون با سرعت ثابت و در مدت زمان ۳۰ ثانیه اعمال شد و پس از ۱۰ ثانیه تأخیر در اعمال نیرو، با همان سرعت اعمال نیرو، باربرداری انجام شد.

مقاومت به خراش و اصطکاک پوشش‌ها نیز توسط دستگاه AFM بررسی شد. در این آزمون، یک نیروی عمودی معین (۵۰۰۰ میکرونیوتون) به فرورونده اعمال شد و فرورونده‌ی تحت نیرو، در جهت افقی به میزان ۴ میکرومتر بر روی سطح پوشش حرکت داده شد و در همین حین، تغییر مکان عمودی فرورونده و نیروی افقی ناشی از مقاومت ماده در برابر حرکت فرورونده، بر حسب زمان رسم شد. تغییر مکان افقی فرورونده و نیروی عمودی اعمالی، برای تمام نمونه‌ها ثابت در نظر گرفته شده بود.

## نتایج و بحث

**اثر عوامل سطحی بر سرعت رسوب‌دهی**  
به منظور بررسی تأثیر عوامل سطحی بر مُرفولوژی پوشش و درصد حجمی ذرات به‌دام افتاده در پوشش، نمونه‌هایی با غلظت‌های مختلف از سدیم دودسیل سولفات SDS و ستیل تری متیل آمونیم بُرمید CTAB تهیه شدند. شکل (۲) و (۳)، سرعت رسوب‌دهی نانوماده مرکب را بر حسب غلظت SDS و CTAB در محلول نشان می‌دهند. همان‌طور که در

می شود. از آنجا که ذرات خوش‌های شده‌ی بزرگ به راحتی توسط نیروی هیدرودینامیکی الکتروولیت از سطح کاتد جدا می‌شوند، درصد حجمی ذرات در پوشش کاهش می‌یابد.



شکل ۴ درصد حجمی نانوذرات نیترید تیتانیم در پوشش ماده‌ی مركب بر حسب غلظت عامل سطحی آئیونی SDS

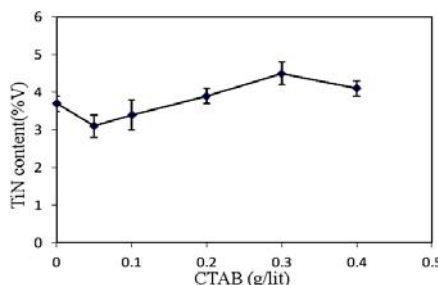
تأثیر عامل سطحی کاتیونی CTAB بر میزان حضور ذرات در پوشش ماده‌ی مركب، در شکل (۵) نشان داده شده است. همان‌طور که مشاهده می‌شود، با افزودن غلظت‌های بسیار کمی از عامل سطحی کاتیونی CTAB به محلول، درصد حجمی ذرات نیترید تیتانیم در پوشش ابتدا کمی کاهش می‌یابد و پس از آن، با افزایش غلظت CTAB درصد حجمی ذرات در پوشش افزایش می‌یابد تا به یک مقدار بهینه در غلظت ۰/۳ g/lit رسد. پس از آن، با افزایش بیش‌تر غلظت عامل سطحی کاتیونی، درصد حجمی ذرات در پوشش مجددً کاهش می‌یابد، اما افزودن CTAB به محلول تأثیر کلی چندانی در غلظت ذرات ندارد. کاهش درصد حجمی ذرات بهای غلظت ۰/۰۵ g/lit از عامل سطحی کاتیونی CTAB، می‌تواند به علت جذب کاتیون‌های CTAB در سطح ذرات نیترید تیتانیم و کاهش بار سطحی منفی ذرات و احتمالاً، خشی شدن ذرات باشد [۱۵, ۱۶]. در این حالت، سه عامل کنترل کننده برای حضور ذرات خشی در زمینه‌ی فلزی وجود دارند: تلاطم خارجی، حرکت ذرات تحت میدان الکتریکی (electrophoresis) و جذب [۱۷]. افزودن

۴ A/dm<sup>2</sup> با چگالی جریان ۳۰ g/lit TiN rpm

### بررسی تأثیر عوامل سطحی بر میزان حضور ذرات در پوشش

تغییرات درصد حجمی نانو ذرات نیترید تیتانیم به‌دام افتاده در پوشش ماده‌ی مركب بر حسب غلظت عامل سطحی آئیونی SDS، در شکل (۴) نشان داده شده است. همان‌طور که دیده می‌شود، با افزایش غلظت عامل سطحی آئیونی SDS، ابتدا درصد حجمی ذرات نیترید تیتانیم در پوشش افزایش می‌یابد و به‌ازای غلظت ۰/۶ g/lit به حداقل مقدار خود می‌رسد. بعد از آن و با افزایش بیش‌تر غلظت SDS، درصد حجمی ذرات نیترید تیتانیم در پوشش کاهش می‌یابد. افزایش درصد حجمی ذرات TiN در پوشش را می‌توان به جذب مولکول‌های SDS توسط ذرات TiN و منفی‌تر شدن بار سطحی ذرات نسبت داد. با افزایش بار سطحی ذرات، نیروی دافعه‌ی الکترواستاتیکی میان ذرات افزایش می‌یابد و از خوش‌های شدن ذرات جلوگیری می‌کند. از سوی دیگر، ذرات نیترید تیتانیم باردار شده توسط یون‌های با بار مثبت نیکل موجود در الکتروولیت احاطه خواهد شد و مرحله‌ی دوام مدل گاگلمی که شامل احیای یون‌های احاطه کننده‌ی ذرات و جذب قوی ذرات است، بهبود می‌یابد. این رفتار موجب افزایش درصد ذرات در پوشش خواهد شد [۱۴]. با افزایش غلظت SDS تا ۰/۶ g/lit، بار سطحی ذرات منفی‌تر می‌شود و حضور ذرات در پوشش افزایش می‌یابد. پس از آن و با افزایش بیش‌تر غلظت SDS، درصد حجمی ذرات در پوشش کاهش می‌یابد، زیرا مولکول‌های اضافی SDS به عنوان الکتروولیت عمل می‌کنند و قدرت یونی حمام را افزایش می‌دهند. این حالت، موجب کم شدن ضخامت لایه‌ی دوگانه‌ی ذرات و متعاقباً، کاهش پتانسیل ذرات، نیروی دافعه‌ی الکترواستاتیکی بین ذرات کاهش می‌یابد و در نتیجه، میزان خوش‌های شدن افزایش می‌یابد. افزون بر این، در مقادیر بالای SDS، عمل پل زدن میان مولکول‌ها رخ می‌دهد و این باعث افزایش میزان خوش‌های شدن

گاگلمنی، یعنی احیای ابر یونی اطراف ذرات و در نتیجه، جذب قوی ذرات می‌شود. این رفتار موجب افزایش تعداد ذرات به‌دام افتاده در پوشش ماده‌ی SDS می‌شود. از آنجا که عامل سطحی آنیونی مركب می‌شود، به عنوان عامل سطحی مؤثر انتخاب می‌شود. در شکل (۶)، تصویرهای میکروسکپ الکترونی روبش از سطح نمونه‌های نیکل خالص و ماده‌ی مركب در غلظت‌های عامل سطحی SDS برابر با ۰، ۰/۲، ۰/۳ و ۰/۶ گرم بر لیتر و عامل سطحی CTAB برابر با ۰/۳ گرم بر لیتر، نشان داده شده است. تصویر (۶-ب)، سطح نمونه‌ی ماده‌ی مركب را بدون حضور عوامل سطحی نشان می‌دهد. مشاهده می‌شود که ذرات به صورت خوش‌های، در پوشش به‌دام افتاده‌اند. همان‌طور که در این تصویرها دیده می‌شود، افزودن عوامل سطحی سبب ریز شدن دانه‌های فلز نیکل زمینه شده است. از طرف دیگر، با افزایش غلظت عامل سطحی تا مقدار بهینه، اندازه‌ی خوش‌های ذرات کاهش یافته است و سبب توزیع بسیار یکنواخت ذرات در پوشش ماده‌ی مركب شده است و سطح هم از صافی بالایی برخوردار است. تصویرهای (۶-پ) و (۶-ت)، خوش‌های شدن ذرات در غلظت‌های غیربهینه‌ی عامل سطحی آنیونی را به‌وضوح نشان می‌دهد.



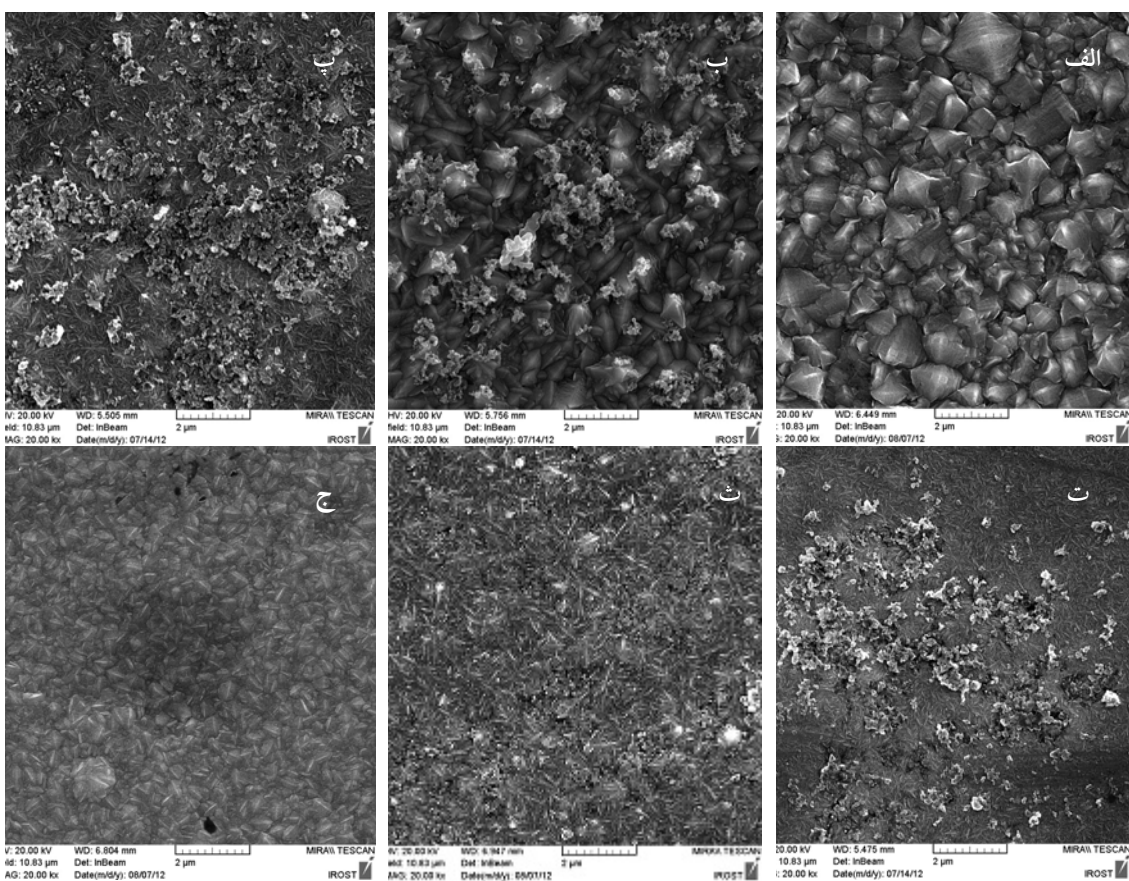
شکل ۵ درصد حجمی نانوذرات نیترید تیتانیم در پوشش ماده‌ی مركب بر حسب غلظت عامل سطحی کاتیونی CTAB

**سختی و مقاومت به سایش پوشش بهینه**  
به منظور بررسی سختی و مقاومت به خراش

بیش‌تر CTAB به محلول و جذب آنها در سطح ذرات، احتمالاً باعث مثبت شدن بار سطحی ذرات می‌شود. با افزایش بیش‌تر CTAB تا غلظت ۰/۳ g/lit، بار سطحی مثبت ذرات بیش‌تر می‌شود و میزان خوش‌های شدن ذرات به حداقل بررسد. در این حالت، نیروی دافعه‌ی الکترواستاتیکی بین ذرات بیش‌تر می‌شود و بعد خوش‌های شدن به شدت کاهش می‌یابد، اما به علت بار سطحی مثبت ذرات، یون‌های نیکل کم‌تری ذرات بازدار مثبت را احاطه می‌کنند. در این حالت، افزایش غلظت ذرات در پوشش احتمالاً به علت نیروی حرکت ذرات تحت میدان الکتریکی (electrophoresis) می‌باشد، زیرا عامل سطحی کاتیونی CTAB سبب می‌شود تا ذرات بار سطحی مثبت بپدا کنند. هر چه بار سطحی ذرات بیش‌تر باشد، نیروی حرکت ذرات تحت میدان الکتریکی (electrophoresis) بیش‌تر می‌شود و ذرات بیش‌تری جذب کاتد می‌شوند. پس از آن و با افزایش بیش‌تر غلظت CTAB، میزان حضور ذرات در پوشش کاهش می‌یابد. این وضعیت می‌تواند به علت افزایش قدرت یونی الکتروولیت و در نتیجه، کاهش ضخامت لایه‌ی دوگانه‌ی ذرات و افزایش میزان خوش‌های شدن ذرات باشد. چنین رفتاری در مورد بار سطحی ذرات، در مقالات دیگر نیز گزارش شده است [14]. افزون بر این، مشاهده می‌شود که بیش‌ترین میزان به‌دام افتادن ذرات نیترید تیتانیم در حضور عامل سطحی کاتیونی CTAB، کم‌تر از عامل سطحی آنیونی SDS می‌باشد. این رفتار را می‌توان این گونه توجیه کرد که ذرات در حضور عامل سطحی کاتیونی دارای بار سطحی مثبت هستند و بنابراین، یون‌های نیکل مثبت کم‌تری اطراف آنها را احاطه می‌کنند. در نتیجه، مرحله‌ی دوم مدل گاگلمنی، یعنی جذب قوی ذرات، کم‌تر رخ می‌دهد و در نتیجه، میزان حضور ذرات در پوشش کاهش می‌یابد. با اینحال، در حضور عامل سطحی آنیونی SDS، ذرات دارای بار سطحی منفی می‌باشند و بنابراین، توسط یون‌های نیکل زیادی احاطه می‌شوند که این سبب افزایش وقوع مرحله‌ی دوم مدل

حجمی) در درون پوشش بود. سختی سنجی با استفاده از دستگاه میکروسکوپ نیروی اتمی AFM انجام شد. همان‌طور که انتظار می‌رفت، میزان جابه‌جایی فرورونده در پوشش ماده‌ی مرکب بسیار کم‌تر از پوشش نیکل خالص بود و این نشان‌دهنده‌ی سختی بالاتر پوشش ماده‌ی مرکب در مقایسه با پوشش نیکل خالص است. عوامل مهم در این آزمون (سختی و حداکثر عمق نفوذ پوشش‌ها)، به‌طرور خلاصه در جدول (۳) نشان داده شده‌اند.

پوشش نانوماده‌ی مرکب نیکل – نیترید تیتانیم، از دو پوشش نیکل خالص و ماده‌ی مرکب در شرایط بهینه استفاده شد. پوشش ماده‌ی مرکب با استفاده از حمام واتس حاوی ۳۰ ذرات نیترید تیتانیم و مقدار بهینه‌ی عامل سطحی آنیونی (0/6 g/lit SDS)، رسوب‌دهی شد. هر دو پوشش، با چگالی جریان ۴ A/dm<sup>2</sup> و سرعت تلاطم محلول برابر با ۴۵۰ دور در دقیقه ایجاد شدند. در این شرایط، نمونه‌ی ماده‌ی مرکب دارای بیش‌ترین میزان ذرات (7/5 درصد

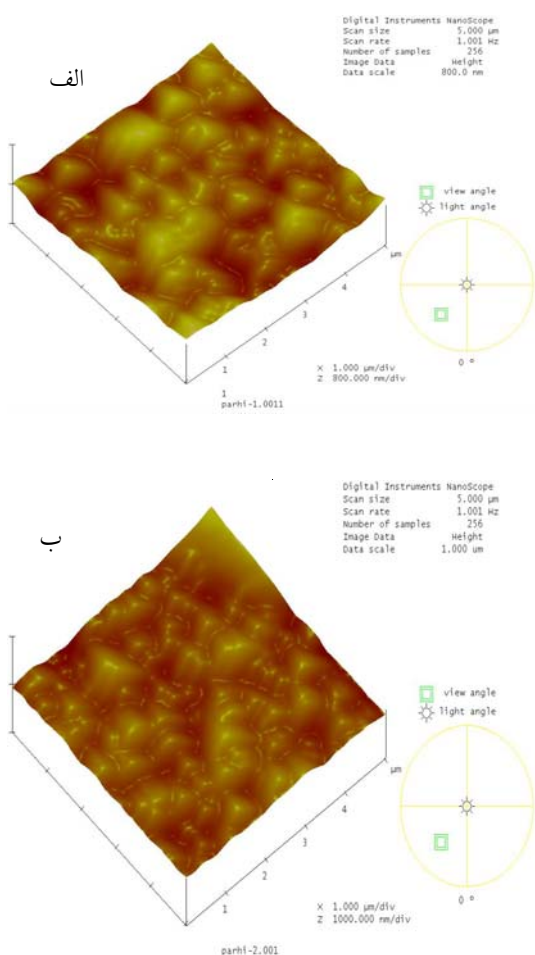


شکل ۶ تصویرهای میکروسکوپ الکترونی روبشی از (الف): سطح نمونه‌های نیکل خالص، (ب): ماده‌ی مرکب نیکل – نیترید تیتانیم بدون افزودن عامل سطحی، به‌ازای غلظت‌های عوامل سطحی آنیونی ۰/۲ g/lit (پ)، ۰/۳ g/lit (ت) و کاتیونی ۰/۳ g/lit (ج)، با چگالی جریان ۴ A/dm<sup>2</sup> و سرعت تلاطم ۴۵۰ rpm

جدول ۳ مقایسه‌ی سختی و عمق نفوذ پوشش‌های نیکل خالص، ماده‌ی مرکب بدون حضور عامل سطحی و ماده‌ی مرکب بهینه

عامل	پوشش بهینه	پوشش Ni-TiN بدون عامل سطحی	پوشش Ni
(GPa)	سختی	(nm)	بیش‌ترین عمق نفوذ
2/74	211/4	1/86	253/7
3/23	194/9	Ni	

شکل (۷) نشان داده شده‌اند. اندازه‌ی دانه‌ی بزرگ‌تر در پوشش ماده‌ی مرکب را می‌توان به به گیر افتادن ذرات خوش‌های شده در پوشش نسبت داد.

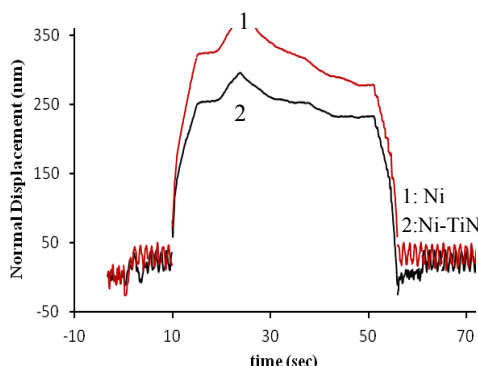


شکل ۷ تصویرهای AFM از سطح پوشش؛ (الف) نیکل خالص و (ب) ماده‌ی مرکب نیکل-نیترید تیتانیم

نتایج مربوط به تغییر مکان عمودی فرورونده در شکل (۹)، نشان داده شده‌اند. همان‌طور که در این تصویرها دیده می‌شود، تغییر مکان عمودی فرورونده در پوشش نیکل خالص بیش از پوشش ماده‌ی مرکب بهینه می‌باشد. این نتیجه، با نتایج حاصل از سختی‌سنجی پوشش‌ها سازگار است. با افزایش سختی پوشش ماده‌ی مرکب، فرورونده به مقدار کمتری در نمونه فرو رفته است.

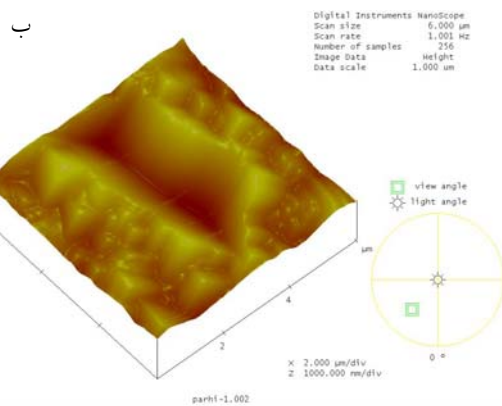
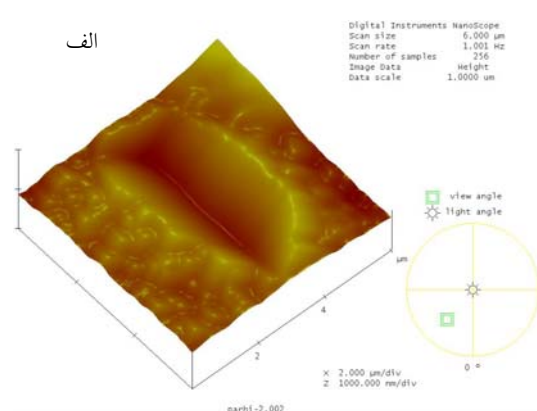
همان‌طور که نتایج نشان می‌دهند، سختی پوشش ماده‌ی مرکب بهینه حدود دو برابر سختی پوشش نیکل خالص می‌باشد. افزون بر این، بیشترین عمق نفوذ و مساحت سطح تماس فرورونده در پوشش نیکل خالص بیشتر از پوشش ماده‌ی مرکب می‌باشد. همچنین، سختی پوشش ماده‌ی مرکب بدون حضور عامل سطحی بیشتر از سختی پوشش نیکل خالص و کمی کمتر از پوشش ماده‌ی مرکب بهینه در حضور عامل سطحی است. دلیل این کاهش سختی، حضور کمتر ذرات در پوشش و خوش‌های شدن ذرات می‌باشد. دو سازوکار عمدۀ برای توجیه سختی پوشش‌های نانوماده‌ی مرکب وجود دارد: ۱- کاهش اندازه‌ی دانه با سازوکار هال-پچ و ۲- سخت‌شدن حاصل از خمیدگی نابجایی با سازوکار اُرُوان. سازوکار اول، مهم‌ترین سازوکار سخت‌کنندگی ذرات نانومتری می‌باشد. همان‌طور که قبلاً گفته شد، ذرات نیترید تیتانیم در روی سطح به عنوان مناطق جوانه‌زنی جدید عمل می‌کنند و موجب ریز دانه شدن پوشش می‌شوند. با ریز شدن دانه‌ها، مساحت مرز دانه‌ها افزایش می‌یابد و به‌این ترتیب، مقاومت در برابر حرکت نابجایی افزایش و استحکام و سختی پوشش، مطابق با رابطه‌ی هال-پچ، افزایش می‌یابد.

عامل مؤثر دیگر، سخت‌شدن حاصل از خمیدگی نابجایی به دلیل حضور ذرات نیترید تیتانیم پراکنده شده در پوشش می‌باشد. در اثر وجود ذرات نیترید تیتانیم در زمینه هنگام تغییر شکل مومسان، این ذرات به عنوان موادی بر سر راه حرکت نابجایی‌ها عمل می‌کنند. تنش وارد شده بر هر نابجایی، منجر به خم شدن نابجایی در اطراف ذره و در نهایت، عبور نابجایی ضمن باقی گذاشتن یک حلقه‌ی نابجایی دور ذره خواهد شد. واضح است که با افزایش تعداد ذرات سخت و غیر قابل برش، فاصله‌ی بین ذرات کاهش و در نتیجه، سختی حاصل از این سازوکار افزایش می‌یابد. تصویرهای AFM از سطح پوشش نیکل خالص و پوشش ماده‌ی مرکب نیکل-نیترید تیتانیم بهینه، در

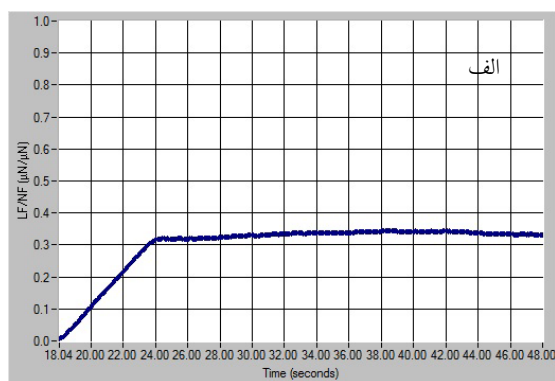
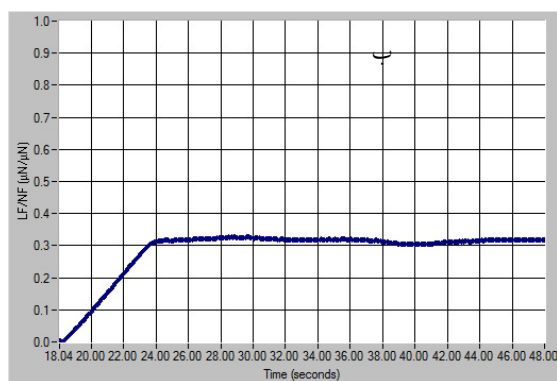


شکل ۹ تغییرات مکان عمودی فرورونده (عمق خراش) با زمان برای پوشش‌های نیکل خالص و ماده‌ی مرکب نیکل-نیترید تیتانیم بهینه

شکل (۱۰)، ضریب اصطکاک را با گذشت زمان در آزمون سایش برای دو پوشش نیکل خالص و ماده‌ی مرکب بهینه نشان می‌دهد. همان‌طور که مشاهده می‌شود، ضریب اصطکاک در پوشش نیکل خالص، اندکی بیش از پوشش ماده‌ی مرکب می‌باشد و این نشان‌دهنده‌ی مقاومت به سایش کم‌تر پوشش نیکل خالص نسبت به پوشش ماده‌ی مرکب است، زیرا همان‌طور که می‌دانیم، با افزایش سختی و کاهش ضریب اصطکاک، مقاومت به سایش افزایش می‌یابد.



شکل ۸ تصویرهای AFM از سطح نمونه‌های خراش داده شده؛ (الف) پوشش نیکل خالص و (ب) پوشش نانوماده‌ی مرکب نیکل-نیترید تیتانیم بهینه



شکل ۱۰ تغییرات ضریب اصطکاک بر حسب زمان در آزمون سایش؛ (الف) پوشش نیکل خالص و (ب) پوشش نانوماده‌ی مرکب نیکل-نیترید تیتانیم بهینه

AFM، نشان داد که با وجود ۷/۵ درصد حجمی از ذرات نیترید تیتانیم در پوشش نیکل، سختی پوشش از ۱/۸۶ به ۳/۲۳ گیگا پاسکال افزایش می‌یابد. افزون بر این، در حضور ذرات، فرورونده تا عمق کمتری از پوشش فرومی‌رود و این رفتار، بهدلیل افزایش سختی پوشش با سازوکارهای سخت شدن هال-پچ و ارگان، رخ داد.

۴- نتایج نشان دادند که ضریب اصطکاک در پوشش نیکل خالص اندکی بیش از پوشش ماده‌ی مرکب بهینه می‌باشد. این نتیجه، نشان‌دهنده‌ی مقاومت به سایش کمتر پوشش نیکل خالص نسبت به پوشش ماده‌ی مرکب می‌باشد.

### نتیجه‌گیری

- ۱- بهمنظور افزایش درصد ذرات در پوشش ماده‌ی مرکب، تأثیر دو عامل سطحی کاتیونی و آنیونی بررسی شد. مشاهده شد که در حضور عامل سطحی آنیونی، درصد بیشتری از ذرات در پوشش حضور خواهند یافت. میزان بهینه‌ی ذرات در حضور عامل سطحی آنیونی SDS، برابر با ۷/۵ درصد و در حضور عامل سطحی کاتیونی CTAB، برابر به ۴/۵ درصد به دست آمد.
- ۲- افزودن عوامل سطحی به محلول، باعث کاهش شدید سرعت رسوب‌دهی پوشش شد و اندازه‌ی دانه‌های نیکل را کاهش داد.
- ۳- مقایسه‌ی سختی پوشش با استفاده از دستگاه

### مراجع

1. Xia, F., Wu, M., Wang, F., Jia, Z. and Wang, A., "Nanocomposite Ni-TiN coatings prepared by ultrasonic electrodeposition", Current Applied Physics, Vol. 9, pp. 44-47, (2009).
2. Tjong , S. C., Chen, H., "Nanocrystalline materials and coatings", Materials Science & Engineering , Vol. 45, pp. 1-88, (2004).
3. Ebdon ,P.R., "The Performance of Electroless Nickel-PTFE Composites", Plating and Surface Finishing, Vol. 75, pp. 65–68, (1988).
4. Saberi, M., Sabri, M. and Naseri Kondelo, M., "The effect of sodium dodecyl sulfate surfactant on the electrodeposition of Ni-alumina composite coatings", Materials Chemistry and Physics, Vol. 136, pp.566-569, (2012).
5. Singh ,B, Menchavez, R., Takai, C., Fuji, M. and Takahashi, M., "Stability of dispersions of colloidal alumina particles in aqueous suspensions", Colloid and Interface Science, Vol. 291, pp. 181-186, (2005).
6. Hovestad ,A., Janssen ,L., "Electrochemical codeposition of inert particles in a metallic matrix", Applied Electrochemistry, Vol. 25, pp.519–527, (1995).
7. Low, C.T.J., Wills, R.G.A., Walsh, F.C., "Electrodeposition of composite coatings containing nanoparticles in a metal deposit", Surface and Coatings Technology, Vol.201, pp. 371–383, (2006).
8. Wang, L.M., "Effect of surfactant BAS on MoS<sub>2</sub> codeposition behavior", Applied Electrochemistry, Vol. 38, pp.245–249, (2008).
9. Akarapu, A., "Surface Property Modification of Copper By Nanocomposite Coating in Metallurgical

- & Materials Engineering", MTech thesis, National Institute of Technology Rourkela, PP. 98-108, (2011).
10. Benea, L., Bonora, P. L., Borello, A., Martelli, S., Wenger, F., ponthiaux, P., and Galland,J., "Composite electrodeposition to obtain nano-structured coatings", Electrochemical Society, Vol.148 (7), pp. 461-465, (2001).
11. Aghababazadeh, R., Rand, B., Banijamali, S., Pourasad, J., Ghahari, M., "Synthesis and characterization of nanocrystalline titanium nitride powder from rutile and anatase as precursors", Surface Science, Vol. 601, pp. 2881-2885, (2007).
12. A.Sohrabi, A.Dolati, M. Ghorbani, M.R.Barati and P.Stroeve, "Elucidation of the Structural Texture of Electrodeposited Ni/SiC Nanocomposite Coatings", physical chemistry, Vol.116, pp. 4105-4118, (2012).
13. Jing, L., Qihua, Y. and Zhao, Z., "Effects of additives on nickel electrowinning from sulfate system", Transactions of Nanferrous Metals Society of China, Vol.20, pp. 97-101, (2010).
14. Mohajeri, S. , Dolati, A., Rezagholibeiki, S., "Electrodeposition of Ni/WC nano composite in sulfate solution", Materials Chemistry and Physics, Vol.129, pp. 746-750, (2011).
15. Zhang, J., Duan, L., Jiang, D., Lin, Q. and Iwasa, M., "Dispersion of TiN in aqueous media", Colloid and Interface Science, Vol. 286, pp. 209-215, (2005).
16. Wang, Z., Ni, Z., Qiu, D., Tao, G. and Yang, P., "Determination of impurities in titanium nitride by slurry introduction axial viewed inductively coupled plasma optical emission spectrometry", Spectrochimica Acta B, Vol. 60, pp. 316-367, (2005).
17. Zhu, X.B., Cal., C., Zheng,G., Zhang, Z. and Li, J. F., "Electrodeposition and corrosion behavior of nanostructured Ni-TiN composite films", Transactions of Nanferrous Metals Society of China, Vol. 21, pp. 2216-2224, (2011).

